

Formulario Primer Parcial

Propiedades índice de la matriz rocosa

Densidad

$$\rho = \frac{M}{V}$$

Densidad seca

$$\rho_d = \frac{M_s}{V}$$

Contenido de agua

$$w = \frac{M_w}{M_s} \times 100 \%$$

Porosidad

$$n = \frac{V_v}{V} \times 100 \%$$

Gravedad específica

$$G_s = \frac{\gamma_{\text{sólidos}}}{\gamma_{\text{agua}}}$$

Propiedades mecánicas de la matriz rocosa

Resistencia a la compresión

$$\sigma_{ci} = \frac{P}{A}$$

Efecto de escala en la resistencia a compresión

$$R = R_1 \left(0.778 + 0.222 \frac{D}{L} \right) \quad \text{Obert, Windes y Duvall (1946)}$$

$$R = R_{0.5} \left(0.875 + 0.250 \frac{D}{L} \right) \quad \text{Brook (1993)}$$

$$R = R_{50} \left(\frac{50}{D} \right)^{0.18} \quad \text{Hoek y Brown (1980)}$$

Resistencia a la compresión, ensayo de carga puntual

$$I_s = \frac{P}{D^2} \quad \sigma_{ci} = K I_s \quad \text{si } D = 50 \text{ mm}$$
$$I_{s(50)} = \left(\frac{D}{50} \right)^{0.45} I_s \quad \sigma_{ci} = K I_{s(50)} \quad \text{si } D \neq 50 \text{ mm}$$

Donde el factor K depende del tipo de roca, según ASTM D5731

Tamaño (mm)	20	30	40	50	54	60
K	17.5	19	21	23	24	24.5

También puede usarse el ajuste teórico

$$K = 6.6817 \ln D - 3.09$$

Resistencia a la compresión (γ en kN/m^3) y módulo de elasticidad, martillo Schmidt Tipo L

$$\log \sigma_{ci} = 0.00088 \gamma R_L + 1.01 \quad \text{en MPa}$$

$$\ln E_i = -8.967 + 3.091 \ln R_L \quad \text{en GPa}$$

Equivalencia entre número de rebote martillo Schmidt Tipo L y Tipo N

$$R_L = -3.4 + 0.83 R_N + 0.00295 R_N^2$$

Corrección por ángulo de inclinación para martillo Schmidt Tipo L

Rebote	Hacia abajo		Horizontal	Hacia arriba	
	-90°	-45°	0°	45°	90°
10	0	7.52	4.98	-	-
20	0	5.86	3.57	7.44	5.15
30	0	4.14	2.16	4.70	2.4
40	0	2.51	0.79	2.02	-0.26
50	0	0.82	-0.62	-0.70	-2.98
60	0	-0.86	-2.01	-3.39	-5.66

Resistencia a la tracción

$$\sigma_t = \frac{2P}{\pi D t} \quad \text{ensayo brasileño}$$

$$\sigma_t = \frac{16PL}{3\pi D^3} \quad \text{ensayo a flexión}$$

Esfuerzo normal y cortante

$$\sigma = \frac{\sigma_1 + \sigma_3}{2} - \frac{\sigma_1 - \sigma_3}{2} \cos 2\beta$$

$$\tau = \frac{\sigma_1 - \sigma_3}{2} \sin 2\beta$$

Criterio de Mohr-Coulomb

$$\tau = c + \sigma \tan \phi$$

Criterio de Mohr-Coulomb en el espacio (s, t)

$$t = a + s \tan \alpha$$

Cambios de variable para el espacio (s, t)

$$s = \frac{\sigma_1 + \sigma_3}{2} \quad a = c \cos \phi$$

$$t = \frac{\sigma_1 - \sigma_3}{2} \quad \tan \alpha = \sin \phi$$

Criterio de Hoek-Brown

$$\sigma_1 = \sigma_3 + \sigma_{ci} \sqrt{m_i \frac{\sigma_3}{\sigma_{ci}} + s_i}$$

Ábaco para martillo Schmidt Tipo L

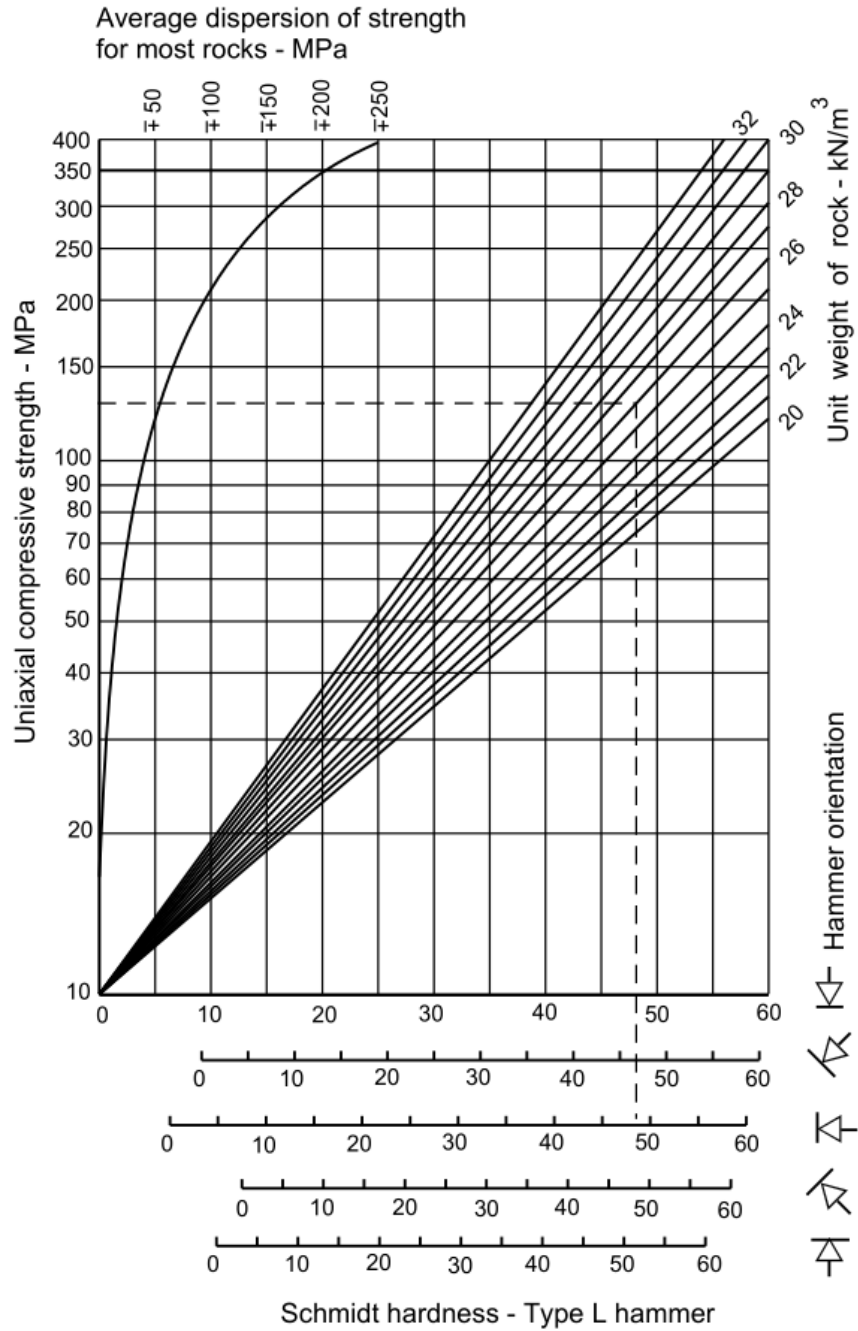


Figura 1: Practical Rock Engineering - Evert Hoek (2007)

Propiedades mecánicas de las discontinuidades

Resistencia a la compresión (γ en kN/m³)

$$\log JCS = 0.00088 \gamma r + 1.01 \quad \text{en MPa}$$

Resistencia al corte usando el criterio de Mohr-Coulomb

$$\begin{aligned}\tau_p &= c + \sigma \tan \phi_p && \text{cortante pico} \\ \tau_r &= \sigma \tan \phi_r && \text{cortante residual}\end{aligned}$$

Resistencia al corte usando el criterio de Patton

$$\tau = \begin{cases} \sigma \tan \phi_p = \sigma \tan(\phi_b + i) & \sigma \leq \text{esfuerzo de transición} \\ c + \sigma \tan \phi_r & \sigma > \text{esfuerzo de transición} \end{cases}$$

Resistencia al corte usando el criterio de Barton-Choubey para $\frac{JCS}{\sigma} \leq 50$

$$\begin{aligned}\tau_p &= \sigma \tan \phi_p = \sigma \tan(\phi_r + i) = \sigma \tan \left[\phi_r + JRC \log \left(\frac{JCS}{\sigma} \right) \right] && \text{cortante pico} \\ \tau_r &= \sigma \tan \phi_r && \text{cortante residual}\end{aligned}$$

Para $\frac{JCS}{\sigma} > 50$

$$\begin{aligned}\tau_p &= \sigma \tan \phi_p = \sigma \tan(\phi_r + i) = \sigma \tan(\phi_r + 1.7 JRC) && \text{cortante pico} \\ \tau_r &= \sigma \tan \phi_r && \text{cortante residual}\end{aligned}$$

Ángulo de fricción residual

$$\phi_r = (\phi_b - 20) + 20 \left(\frac{r}{R} \right)$$

Coefficiente de rugosidad de la junta mediante el ensayo de mesa inclinada

$$JRC = \frac{\alpha - \phi_r}{\log \left(\frac{JCS}{\sigma} \right)}$$

Para este ensayo el esfuerzo normal es

$$\sigma = \gamma h \cos^2 \alpha$$

Efecto de escala en la resistencia al corte

$$\begin{aligned}L_0 &= 100 \text{ mm} \\ JRC_n &= JRC_0 \left(\frac{L_n}{L_0} \right)^{-0.02 JRC_0} \\ JCS_n &= JCS_0 \left(\frac{L_n}{L_0} \right)^{-0.03 JRC_0}\end{aligned}$$

Resistencia al corte a escala real usando el criterio de Barton-Choubey

$$\tau = \sigma \tan \left[\phi_r + JRC_n \log \left(\frac{JCS_n}{\sigma} \right) + i \right]$$

Esfuerzo normal y cortante en un plano inclinado

$$\begin{aligned}\sigma &= \sigma_1 \cos^2 \alpha + \sigma_3 \sin^2 \alpha \\ \tau &= \sigma_1 \sin \alpha \cos \alpha + \sigma_3 \sin \alpha \cos \alpha\end{aligned}$$

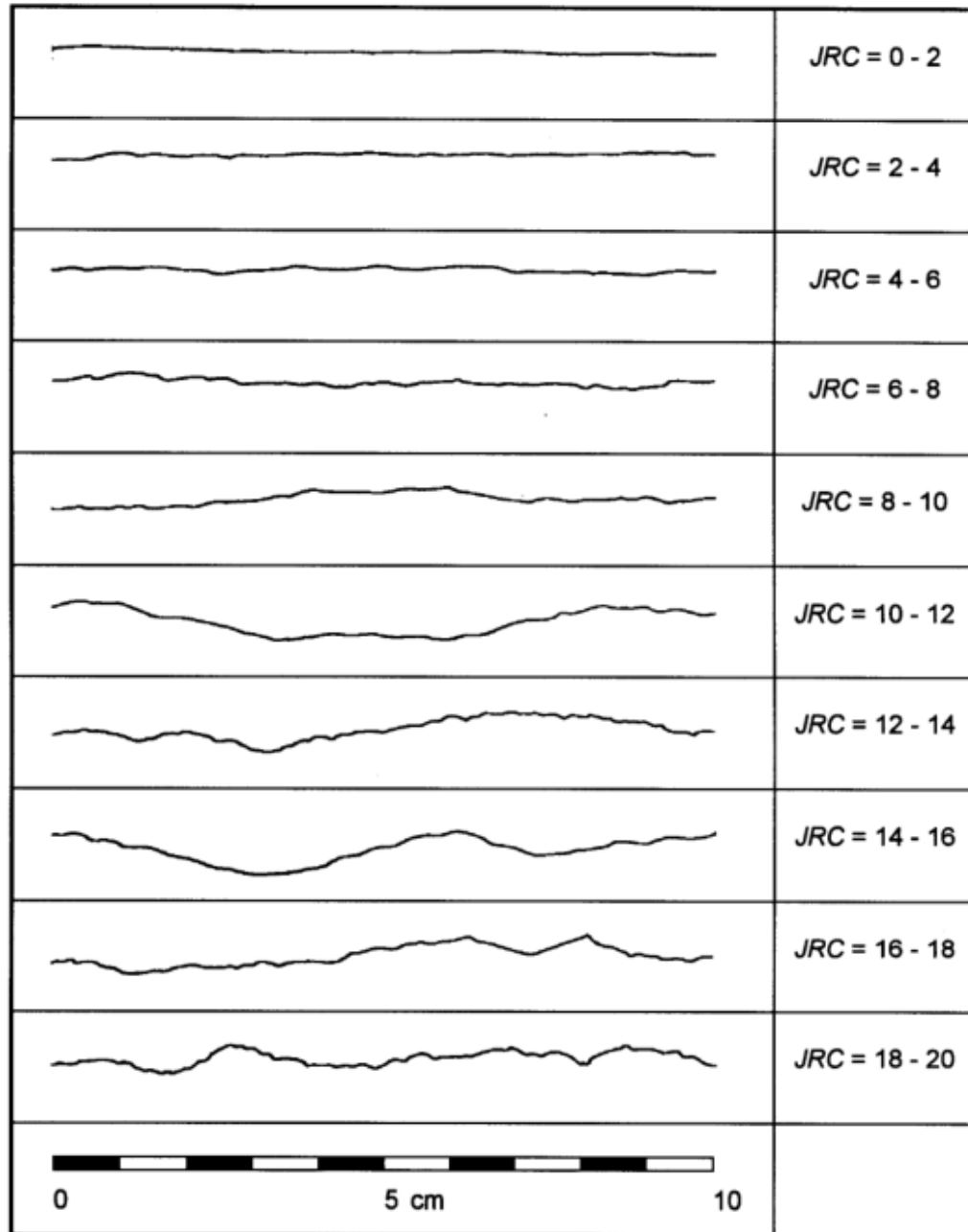


Figura 2: Practical Rock Engineering - Evert Hoek (2007)

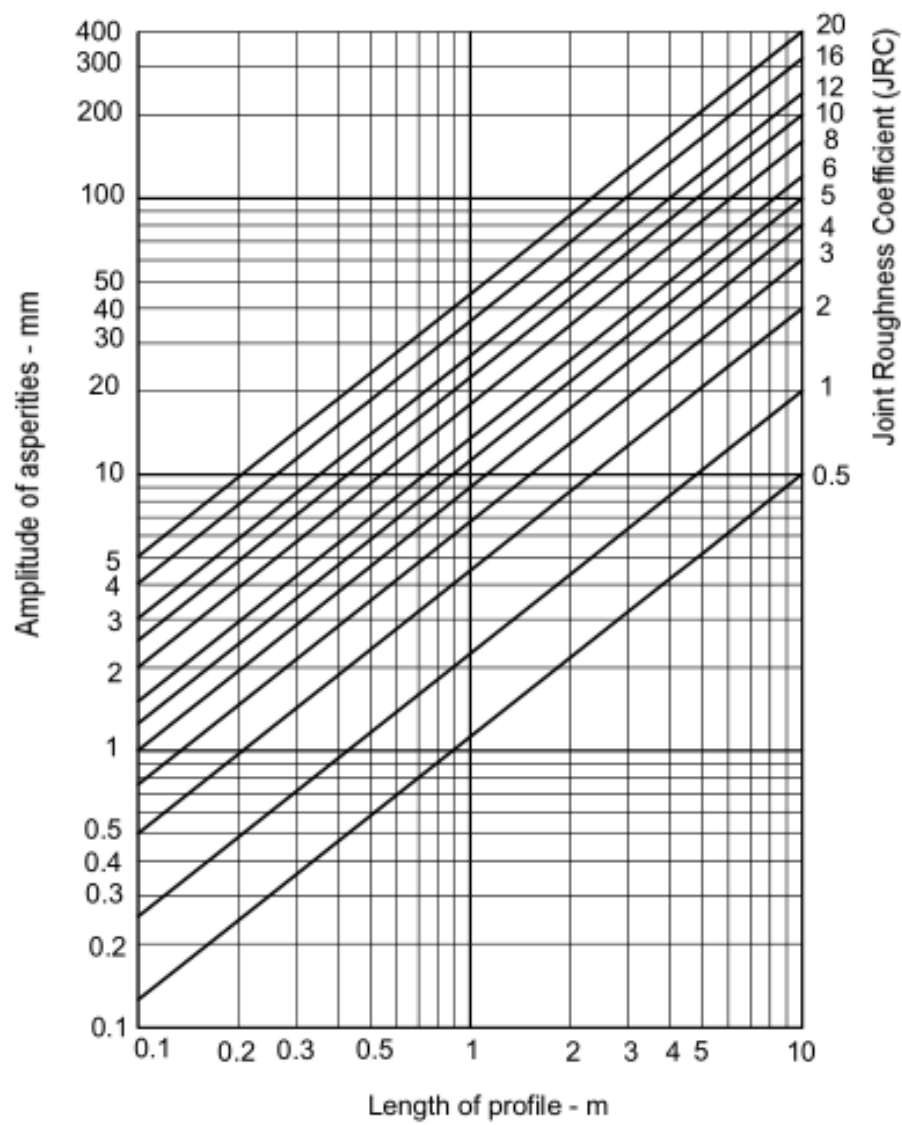
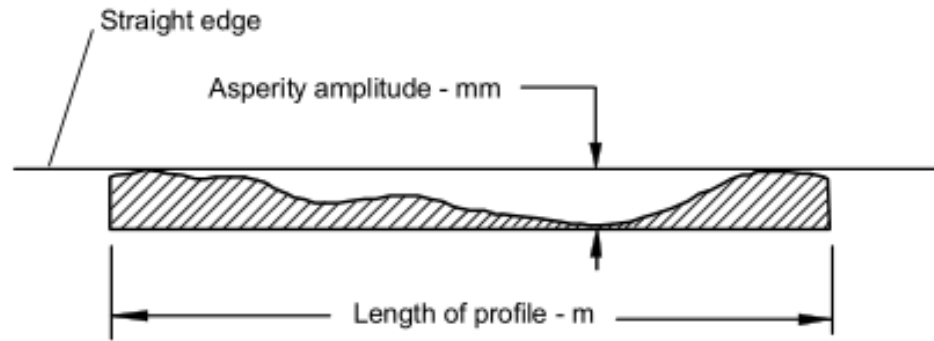


Figura 3: Practical Rock Engineering - Evert Hoek (2007)

Clasificación de macizos rocosos

Índice de calidad de la roca

$$\text{RQD} = \frac{\sum \text{fragmentos} > 10 \text{ cm}}{\text{longitud total}} \times 100 \%$$

Número de discontinuidades que interceptan 1 m^3

$$J_v = \sum \frac{\text{número de discontinuidades}}{\text{espaciamiento}}$$

Índice de calidad de la roca en función del número de discontinuidades que interceptan 1 m^3

$$\text{RQD} = 110 - 2.5J_v$$

Frecuencia de discontinuidades

$$\lambda = \frac{\text{número de discontinuidades}}{\text{longitud que interceptan las discontinuidades}} = \frac{1}{\text{espaciamiento medio}}$$

Índice de calidad de la roca en función de la frecuencia de discontinuidades

$$\text{RQD} = 100 e^{-0.1\lambda} (1 + 0.1\lambda)$$

Clasificación de Bieniawski o sistema RMR, actualización 1989

$$\text{RMR} = (1) + (2) + (3) + (4) + (5) + (6)$$

Clasificación de Barton o sistema Q, actualización 2015

$$Q = \frac{\text{RQD}}{J_n} \frac{J_r}{J_a} \frac{J_w}{\text{SRF}}$$

Correlación entre RMR y Q según Bieniawski(1976)

$$\text{RMR} = 9 \ln Q + 44$$

Correlación entre RMR y Q según Barton(1995)

$$\text{RMR} = 15 \log Q + 50$$

Correlación entre GSI y RMR, para condiciones secas (5) = 15, orientación muy favorable de las discontinuidades (6) = 0 y $\text{RMR} \geq 23$

$$\text{GSI} = \text{RMR} - 5$$

Propiedades mecánicas del macizo rocoso

Criterio generalizado de Hoek-Brown

$$\begin{aligned} m_b &= m_i \exp \left(\frac{\text{GSI} - 100}{28 - 14D} \right) \\ s &= \exp \left(\frac{\text{GSI} - 100}{9 - 3D} \right) \\ a &= \frac{1}{2} + \frac{1}{6} \left[\exp \left(-\frac{\text{GSI}}{15} \right) - \exp \left(-\frac{20}{3} \right) \right] \\ \sigma_1 &= \sigma_3 + \sigma_{ci} \left(m_b \frac{\sigma_3}{\sigma_{ci}} + s \right)^a \end{aligned}$$

Resistencia a la compresión uniaxial y tracción uniaxial

$$\sigma_c = \sigma_{ci} s^a$$

$$\sigma_t = -\frac{s \sigma_{ci}}{m_b}$$

Resistencia a la compresión, cohesión y ángulo de fricción en el intervalo $\sigma_t < \sigma_3 < \sigma_{3max}$

$$\sigma_{cm} = \sigma_{ci} \frac{[m_b + 4s - a(m_b - 8s)] \left(\frac{m_b}{4} + s\right)^{a-1}}{2(1+a)(2+a)}$$

$$\sigma_{3max} = \frac{\sigma_{ci}}{4} \quad \text{En general}$$

$$\frac{\sigma_{3max}}{\sigma_{cm}} = 0.47 \left(\frac{\sigma_{cm}}{\gamma H} \right)^{-0.94} \quad \text{Para túneles}$$

$$\frac{\sigma_{3max}}{\sigma_{cm}} = 0.72 \left(\frac{\sigma_{cm}}{\gamma H} \right)^{-0.91} \quad \text{Para taludes}$$

$$\sigma_{3n} = \frac{\sigma_{3max}}{\sigma_{ci}}$$

$$c = \sigma_{ci} \frac{[(1+2a)s + (1-a)m_b \sigma_{3n}](s + m_b \sigma_{3n})^{a-1}}{(1+a)(2+a) \sqrt{1 + \frac{6a m_b (s + m_b \sigma_{3n})^{a-1}}{(1+a)(2+a)}}}$$

$$\phi = \arcsin \left[\frac{6a m_b (s + m_b \sigma_{3n})^{a-1}}{2(1+a)(2+a) + 6a m_b (s + m_b \sigma_{3n})^{a-1}} \right]$$

Esfuerzos normales y de corte en función de σ_1 y σ_3 según Balmer(1952)

$$\frac{d\sigma_1}{d\sigma_3} = 1 + a m_b \left(m_b \frac{\sigma_3}{\sigma_{ci}} + s \right)^{a-1}$$

$$\sigma = \frac{\sigma_1 + \sigma_3}{2} - \frac{\sigma_1 - \sigma_3}{2} \left(\frac{\frac{d\sigma_1}{d\sigma_3} - 1}{\frac{d\sigma_1}{d\sigma_3} + 1} \right)$$

$$\tau = (\sigma_1 - \sigma_3) \left(\frac{\sqrt{\frac{d\sigma_1}{d\sigma_3}}}{\frac{d\sigma_1}{d\sigma_3} + 1} \right)$$

Criterio de Mohr-Coulomb

$$\tau = c + \sigma \tan \phi$$

$$c = \frac{\sigma_{cm}(1 - \sin \phi)}{2 \cos \phi}$$

$$\phi = \arcsin \left(\frac{k - 1}{k + 1} \right)$$

Criterio de Mohr-Coulomb en función de σ_1 y σ_3

$$\sigma_1 = \sigma_{cm} + k \sigma_3$$

$$\sigma_{cm} = \frac{2 \cos \phi}{1 - \sin \phi}$$

$$k = \frac{1 + \sin \phi}{1 - \sin \phi}$$

Modulo de elasticidad del macizo rocoso en MPa según Hoek y Diederichs (2006)

$$E_{rm} = E_i \left[0.02 + \frac{1 - \frac{D}{2}}{1 + \exp\left(\frac{60+15D-GSI}{11}\right)} \right]$$
$$E_{rm} = 10^5 \left[\frac{1 - \frac{D}{2}}{1 + \exp\left(\frac{75+25D-GSI}{11}\right)} \right]$$

Modulo de elasticidad del macizo rocoso en GPa según Hoek, Carranza-Torres y Corkum (2002)

$$E_{rm} = \begin{cases} \left(1 - \frac{D}{2}\right) \sqrt{\frac{\sigma_{ci}}{100}} 10^{\frac{GSI-10}{40}} & \sigma_{ci} \leq 100 \text{ MPa} \\ \left(1 - \frac{D}{2}\right) 10^{\frac{GSI-10}{40}} & \sigma_{ci} > 100 \text{ MPa} \end{cases}$$